

1978

1978

*HCHO**μ*

88: 143688h Stark effect on the electronic bands of a symmetric-top molecule. Amako, Yoshito; Sato, Yoshiichi; Watanabe, Akiyoshi (Coll. Gen. Educ., Tohoku Univ., Sendai, Japan). *Bull. Chem. Soc. Jpn.* 1978, 51(2), 360-6 (Eng). Calcs. were performed on the energy matrix of a rigid sym.-top mol., HCHO, in order to det. the transition energies and intensities of the rotational sub bands of the electronic spectrum under various magnitudes of external electrostatic fields. Though HCHO is an asym.-top mol., the rotational structure of the 3390 Å band of this mol. is close to that of a perpendicular band of a sym.-top mol., at least, for not too small values of  $K$ . The variation in the band structures with the applied fields can be illustrated by the behavior of several selected bands,  $rP$ ,  $rQ$ ,  $rR$ , and  $rQ'$ . Below 100 kV/cm, the overall Stark splittings are linearly dependent on the field strength, regardless of the branch types. Over 100 kV/cm, however, a deviation from the linear dependence is found for a certain branch. Changes in the band shape have appeared at such small values of external fields that no deviation from the linear field dependence of the overall Stark splitting is obsd. Such changes are dependent on the branch types, esp. in the cases of branches with small  $J$  values and with  $K < J$ . The intensity enhancement of some forbidden

C.A. 1978, 88 Nds

bands was obsd., the magnitude of which is proportional to the square of the field strength below 100 kV/cm. However, the relation between the intensity enhancement and the elec. fields is complicated at fields over 100 kV/cm, the enhanced intensity being proportional to a coupled sum of  $E^2$  and higher terms. At a fixed elec. field, a linear relation exists between the overall Stark splitting and the various  $\mu$  values assumed for the excited state. The anal. of the data enabled the detn. of the elec. dipole moment of the lowest  $n \rightarrow \pi^*$  excited state of HCHO as 1.65 D.

$H_2CO$

Спектр  
поглощ.

отмеч 6436

1978

12 Д416. Исследование системы  $a^3A_2 - X^1A_1$  формальдегида с высоким разрешением. Birss F. W., Ramsay D. A., Tully S. M. Further high resolution studies of the  $a^3A_2 - X^1A_1$  system of formaldehyde. «Can. J. Phys.», 1978, 56, № 6, 781—785 (англ.; рез. франц.)

Спектр поглощения формальдегида в области 3800—3600 Å сфотографирован в 16-м порядке 7,3-м спектро-графа Эберта с разрешением  $\sim 600\ 000$ . Выполнен вра-шательный анализ 5 полос системы  $\tilde{a}^3A_2 - \tilde{X}^1A_1$ . Опре-делены молекулярные постоянные для уровней  $2^1, 2^14^2, 2^14^4, 4^4$  возбужденного состояния, а также для уровня, находящегося в резонансе Ферми с уровнем  $2^14^4$ . Про-анализированы некоторые локальные возмущения вра-цательной структуры. Библ. 25.

Ф.1978, №12

отмеч 6436

H<sub>2</sub>CO

ONLINE 6436

1978

89: 82390b Further high resolution studies of the  $\tilde{\alpha}^3A_2 - \tilde{X}^1A_1$  system of formaldehyde. Birss, F. W.; Ramsay, D. A.; Till, S. M. (Dep. Chem., Univ. Alberta, Edmonton, Alberta). *Can. J. Phys.* 1978, 56(6), 781-5 (Eng). Rotational analyses were carried out for 5 bands of the  $\tilde{\alpha}^3A_2 - \tilde{X}^1A_1$  system of formaldehyde. Mol. consts. were detd. for the 2<sup>1</sup>, 2<sup>1</sup>4<sup>2</sup>, 2<sup>1</sup>4<sup>4</sup>, and 4<sup>4</sup> levels of the excited state and for a level in Fermi resonance with 2<sup>1</sup>4<sup>4</sup>. Some local rotational perturbations are discussed.

III, 11.

C.A. 1978, 89, N10

H<sub>2</sub>CO emmuc 7628 1978

Birss F.W.; Ramsay  
D.A.; Till S.M.

Chem. Phys. Lett., 1978, 53

(1), 14-17

Singlet-triplet perturbations..

$H_2CO$

документ 7206

1978

5Д438. Основное состояние молекулы  $H_2CO$ .  
 Brown Linda R., Hunt Robert H. The ground state of  $H_2CO$ . «J. Mol. Spectrosc.», 1978, 73, № 2, 277—289 (англ.)

В области 2630—3030 см<sup>-1</sup> с разрешением 0,02 см<sup>-1</sup> измерен ИК-спектр поглощения молекулы  $H_2CO$ . Идентифицировано около 2500 линий вращательной структуры полос  $v_1$ ,  $v_5$ ,  $v_3+v_6$ ,  $v_2+v_4$ ,  $2v_3$  и  $v_2+v_6$ . Из комбинационных разностей частот переходов с  $J < 29$  и  $K_a < 9$  вместе с литературными данными по микроволн. вращательным переходам с  $J < 33$ ,  $K_a < 5$  в основном колебательном состоянии вычислены значения вращательных и центробежных постоянных для основного колебательного состояния  $H_2CO$ :  $A = 281966,69$ ,  $B = 38835,428$ ,  $C = 34005,732$  МГц;  $\tau_1 = -6,069$ ,  $\tau_2 = -0,77774$ ,  $\tau_3 = 34,509$ ,  $\tau_a = -81,97$ ,  $\tau_b = -0,38870$ ,  $\tau_c = -0,22178$  МГц.

М. Р. Алиев

11.17.

БР-Х11-9336

Ф.1978/15

$H_2CO$

отмечен 7206

1978

11 Б287. Основное состояние  $H_2CO$ . В груп Lin-  
да R., Hunt Robert H. The ground state of  $H_2CO$ .  
«J. Mol. Spectrosc.», 1978, 73, № 2, 277—287 (англ.)

В области 3,5 мкм получен спектр газ. формальдегида с высоким разрешением ( $0,019$ — $0,027$  см $^{-1}$ ). Измерено ~5000 линий поглощения с точностью 0,003 см $^{-1}$  (в кач-ве стандарта использованы линии испускания тория). Анализ показал, что разности с  $\Delta K_a=2$  для  $K_a > 5$  не согласуются с молек. постоянными основного состояния, определенными из МВ-спектров. Для получения нового набора постоянных проведена совместная обработка данных для пяти ИК-полос и МВ-спектра. Получено:  $A = 281966,69(49)$ ,  $B = 38835,428(4)$ ,  $C = 34005,732(4)$ ;  $\tau_{aaaa} = -82,0(1)$ ,  $\tau_{bbbb} = -0,3887(3)$ ,  $\tau_{cccc} = -0,2218(3)$ ,  $\tau_1 = -6,069(5)$ ,  $\tau_2 = -0,7777(6)$ ,  $H_k = 0,00153(29)$ ,  $h_{jk} = 5,09(1,65) \times 10^{-6}$  и  $h_k = 0,001595(95)$  М. л.

Л. В. Серебренников

ЗР-ХIV-9336

декабрь  
Серебренников  
Л. В.  
1979 N 11

$\text{CH}_2\text{O}$

1978

Beattie W.H., et al.

Proc. Soc. Photo-Opt. Instrum.  
Eng. 1978, 158 / Laser Spectrosc.-  
Appl. Tech.) 113-21.

U.G. &  
U.K. GRANT

CCN. CO<sub>2</sub>-II

отмеч 6609

1978

$H_2CO$

12 Д186. Расчеты некоторых возбужденных состояний формальдегида. Замечание о  $\pi \rightarrow \pi^*$ -переходах.  
Colle Renato, Montagnani Raffaele, Riani Pierluigi, Salvetti Oriano. Calculation of some

electronic excited states of formaldehyde. Remarks on the  $\pi \rightarrow \pi^*$  transition. «Theor. chim. acta», 1978, 49, № 1, 37—44 (англ.)

Рассчитаны энергии возбужденных состояний формальдегида типа  $^1B_2$  ( $2b_2 \rightarrow na_1$ ) и  $^1A_1$  ( $\pi \rightarrow \pi^*$ ). Расчеты производились в расширенном гауссовом базисе. Энергия каждого состояния определялась методом ССП с последующим учетом корреляционной энергии, вычисленной путем интегрирования функционала электронной плотности. Рассчитанная энергия  $\pi \rightarrow \pi^*$ -перехода составляет 10,82 эв, что всего на 0,17 эв превышает рассчитанную энергию ионизации. Абс. ошибка не превосходит 0,3 эв, а относительная, по-видимому, намного меньше. Состояние  $\pi \rightarrow \pi^*$  следует в свете полученных результатов рассматривать как автономизационное с зависящими от времени вкладами ф-ций  $\pi \rightarrow \pi^*$ ,  $2b_2 \rightarrow nb_2$  и континуума. В. И. Барановский

расчет  
возбужден.  
состоян.

9-1978 N12

1978

CH<sub>2</sub>O

Clark D.T., et al

Nouv. J. Chim., 1978,

2, n3, 225-8

котену.  
поверхн.



(Cu<sub>2</sub>CaH<sub>2</sub>;  $\text{III}$ )

H<sub>2</sub>CO

сммнчк 6373

1978.

Clark D.T., et al.

правил  
геометрии

J. Chem. Soc. Faraday

Trans. II, 1978, 74

ZrP<sub>2</sub>O<sub>5</sub> с бором N. 6, 1046-55

1978

ИСОИ

фактам  
равновесн.  
геометрии  
 $J_1$

II Д220. Исследование основного и некоторых низкоколлежащих возбужденных состояний молекулы формальдегида методом  $CNDO/V^{N-1}$ . Чеглоков Е. И., Терпугова А. Ф., Самсонов Б. Ф., Килин В. А. «Изв. вузов. Физика», 1978, № 6, 43—48

Для расчета возбужденных состояний молекул предложен полуэмпирич. метод  $CNDO/V^{N-1}$ , позволяющий с единой параметризацией рассматривать как основное, так и возбужденные состояния. Рассчитана равновесная геометрия для основного  $^1A_1$ - и возбужденных  $^3A_2$ - $^1A_2$ - $^3A_1$ -состояний молекулы формальдегида. Рассчитаны также частоты электронных переходов для излучения и поглощения.

Резюме

Ф. 1978 № 11

H<sub>2</sub>CO

1978

89: 118049p Study of ground and some low-lying excited states of a formaldehyde molecule by the CNDO/VN<sup>1</sup> method. Cheglokov, E. I.; Terpugova, A. F.; Samsonov, B. F.; Kilin, V. A. (Sib. Fiz.-Tekh. Inst., Tomsk, USSR). *Izv. Vyssh. Uchebn. Zaved., Fiz.* 1978, 21(6), 43-8 (Russ). The semiempirical method CNDO/VN<sup>1</sup>, which allows an anal. of ground and excited states by using a single parametrization, was used for calcg. the ground and lower excited states of HCHO mol. The order and the symmetry of the ground (<sup>1</sup>A<sub>1</sub>) and of the excited (<sup>3</sup>A<sub>2</sub>, <sup>1</sup>A<sub>2</sub>, <sup>3</sup>A<sub>1</sub>) states agree with exptl. results.

Kh. neex.  
paccty

C.A. 1978 89 1114

*H<sub>2</sub>CO*

XIV-9124

1978

24 Б286. Микроволновый спектр формальдегида и его изотопных производных с D, <sup>13</sup>C и <sup>18</sup>O. Изучение кориолисова резонанса между возбужденными колебательными состояниями ν<sub>4</sub> и ν<sub>6</sub>. Dangoisse D., Willemot E., Bellet J. Microwave spectrum of formaldehyde and its isotopic species in D, <sup>13</sup>C and <sup>18</sup>O. Study of Coriolis resonance between ν<sub>4</sub> and ν<sub>6</sub> vibrational excited states. «J. Mol. Spectrocs», 1978, 71, № 1—3, 414—429 (англ.)

*М. В.  
спектр*

*М.Н.*

Измерены в области частот от 8 до 370 ГГц МВ-спектры формальдегида, H<sub>2</sub>CO (I), и его D, <sup>13</sup>C и <sup>18</sup>O изотопозамещенных образцов, в основном колебательном состоянии I и D<sub>2</sub>CO (II) в возбужденных колебательных состояниях ν<sub>3</sub>, ν<sub>4</sub> и ν<sub>6</sub>. Анализ спектров выполнен на основе гамильтониана в представлении Уотсона с учетом секстичных постоянных центробежного искажения. Для I в основном состоянии определены вращательные постоянные (в ГГц) A=281968,9(1,3), B=38836,11(2),

X-1978, N24

$C=34002,21(2)$  и постоянные центробежного искажения. Анализ спектров в  $\nu_4$  и  $\nu_6$  возбужденных состояниях выполнен с учетом квартичных поправок на центробежное искажение и с учетом кориолисова взаимодействия между  $\nu_4$  и  $\nu_6$  состояниями. Для I в  $\nu_4$  и  $\nu_6$  возбужденных состояниях, соотв., вращательные постоянные равны (в МГц)  $A=280126(21)$  и  $283003(8)$ ,  $B=38441,4(2)$  и  $38925,3(2)$ ,  $C=34051,2(2)$  и  $33802,2(2)$  и постоянная кориолисова взаимодействия между состояниями, равна  $F_{bc}=13,2(6)$  МГц.

С. Н. Мурзин



*H<sub>2</sub>CO*

*μ, ν, J*

2 Д456. Микроволновые спектры формальдегида и его D-, <sup>13</sup>C- и <sup>18</sup>O-замещенных. Изучение кориолисова резонанса между возбужденными колебательными состояниями  $v_4$  и  $v_6$ . Dangoisse D., Willemot E., Bellet J. Microwave spectrum of formaldehyde and its isotopic species in D, <sup>13</sup>C, and <sup>18</sup>O: Study of Coriolis resonance between  $v_4$  and  $v_6$  vibrational excited states. «J. Mol. Spectrosc.», 1978, 71, № 1-3, 414—429 (англ.)

В области 8—370 ГГц исследованы микроволны спектры молекул  $\text{H}_2\text{CO}$ ,  $\text{D}_2\text{CO}$ ,  $\text{HDCO}$ ,  $\text{H}_2^{13}\text{CO}$ ,  $\text{D}_2^{13}\text{CO}$ ,  $\text{HD}^{13}\text{CO}$ ,  $\text{H}_2\text{C}^{18}\text{O}$  и  $\text{D}_2\text{C}^{18}\text{O}$ . Идентифицированы линии вращательных переходов всех этих молекул в основном колебательном состоянии, а для молекул  $\text{H}_2\text{CO}$  и  $\text{D}_2\text{CO}$  — еще и в возбужденных состояниях с  $v_4=1$  и  $v_6=1$ . Теоретич. анализ спектров в основном колебательном состоянии выполнен с использованием приведенного вращательного гамильтониана Уотсона. Показано, что гамильтониан Уотсона с учетом кориолисова резонанса между состояниями с  $v_4=1$  и  $v_6=1$  удовлетворительно воспроизводит частоты вращательных пере-

9. 1979. 2

1978

XIV - 1978

ходов в возбужденных состояниях  $H_2CO$  и  $D_2CO$ . Определены значения вращательных постоянных и постоянных квартичного и секстичного центробежного искажения.

М. Р. Алиев

час

*H<sub>2</sub>CO*

XIV-9110

1978

Д 1 Д137. Зависимость электростатического молекулярного потенциала от базисного набора и метода вычисления волновой функции. Случай основного  $^3A_1(\pi \rightarrow \pi^*)$ - и  $^1A_1(\pi \rightarrow \pi^*)$ -состояний формальдегида.  
Daudel R., Le Rouzo H., Cimiraglia R., Thomas J. Dependence of the electrostatic molecular potential upon the basis set and the method of calculation of the wave function. Case of the ground  $^3A_1(\pi \rightarrow \pi^*)$  and  $^1A_1(\pi \rightarrow \pi^*)$  states of formaldehyde. «Int. J. Quant. Chem.», 1978, 13, № 4, 537—552 (англ.; рез. франц., нем.)

*расчет  
равновес.  
геометрии*

Исследована зависимость электростатич. молекулярного потенциала  $V$  (т. е. электростатич. энергии взаимодействия единичного положит. заряда с молекулой) от метода вычисления волн. ф-ции на примере трех состояний молекулы H<sub>2</sub>CO. Все вычисления осуществлены для равновесной геометрии H<sub>2</sub>CO в двух базисах гауссовых ф-ций: СТО—3Г и 4—31Г, каждый из которых был дополнен набором диффузных 2p-орбиталей на атомах O и C. Расчеты выполнены методом ССП (для

*Ф.1049.1/*

основного состояния) и методом конфигурационного взаимодействия (КВ) с последовательным увеличением числа конфигураций, а также для возбужденных состояний тремя более простыми методами (в частности, методом КВ с учетом лишь однократных возбуждений).

Для основного состояния и состояния  ${}^3A_1(\pi \rightarrow \pi^*)$  найдено, что расчет ограниченным методом КВ является достаточным в том случае, когда достигается точное асимптотич. описание для данного базисного набора. Дальнейшее расширение КВ, хотя и понижает энергию, но не влияет на поведение  $V$ . Оба базиса дают эквив. описание  $V$  на уровне КВ. Для состояния  ${}^1A_1(\pi \rightarrow \pi^*)$  найдено, что оба базиса не дают эквив. результатов, расчет ограниченным методом КВ не является достаточным.

А. Чесный

трук  
одор

$H_2CO$

XIV-9790

19 Б49. Исследование протонирования методом молекулярных орбиталей. Зависимость рассчитываемых значений сродства к протону от геометрии и базиса. Del Bene J. E. A molecular orbital study of protonation. Geometry and basis set dependence of computed proton affinities. «Chem. Phys. Lett.», 1978, 55, № 2, 235—238 (англ.)

Методом Хартри—Фока рассчитаны значения сродства к протону (СП) молекул  $H_2CO$ ,  $CH_3CHNO$  и  $HC_2H_3O$ . Вычисления проведены с использованием двух вариантов базисных наборов: миним. базиса СТО—ЗГФ и валентно-расщепленного базиса 4—31 ГФ. В обоих случаях проанализированы варианты с оптимизацией геометрии только молекулы основания и с полной оптимизацией геометрии комплекса. Вычисл. величины СП сопоставлены с эксперим. данными. Показано, что наилучшие результаты получаются с базисом 4—31 ГФ и с полной оптимизацией геометрии. При фиксированной геометрии молекул основания с базисом 4—31 ГФ предсказывается неправильный порядок величин СП в исследуемых системах. Расчеты с миним. базисом СТО—3 ГФ, напротив, предсказывают неправильный порядок величин при частичной оптимизации геометрии.

А. В. Немухин

факт

А.Н., 22.05.1978

(42)

☒

2.19.43 N19

Б243

автоматический

$H_2CO$

$CH_3CHO$

$HCOOH$

$(AH^+)$ ,  $k_b$ .  $k_{eff}$ ,  
factors

ommuc 6243, XIL-9799<sup>1978</sup>

89: 31151s A molecular orbital study of protonation. Geometry and basis set dependence of computed proton affinities. Del Bene, Janet E. (Dep. Chem., Youngstown State Univ., Youngstown, Ohio). *Chem. Phys. Lett.* 1978, 55(2), 235-8 (Eng). An evaluation was made of the performance of the minimal STO-3G and the extended 4-31G basis sets, and of the effect of the rigid monomer restriction in the calcn. of the relative proton affinities of the bases  $H_2CO$ ,  $CH_3CHO$ , and  $HCOOH$ . The best agreement between the computed and the exptl. relative proton affinities of these bases was found when the computed proton affinities are detd. from the energies of fully optimized structures with the 4-31G basis set. In this approach, full geometry optimization of bases and ions with the 4-31G basis set is required for generally reliable predictions of relative proton affinities. A possible alternative approach has been suggested, and found to reproduce the relative proton affinities of these carbonyl compds.

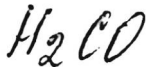
42 B



C.A., 1978, 29, N.Y.

Симисс 6243

1.6.78



раб. мк.  
расчет



(42) 18

09.1978, № 9

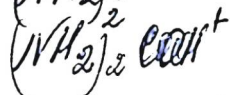
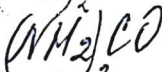
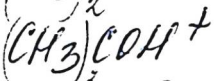
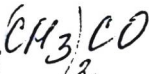
9 Д119. Исследование протонирования методом молекулярных орбиталей. Зависимость рассчитанного сродства к протону от геометрии и базисного набора. Del Valle Janet E. A molecular orbital study of protonation. Geometry and basis set dependence of computed proton affinities. «Chem. Phys. Lett.», 1978, 55, № 2, 235—238 (англ.)

Неэмпирическим методом ССП МО ЛКАО в базисах гауссовских ф-ций ОСТ-ЗГФ и ОСТ-4-31ГФ рассчитаны  $H_2CO$  (I),  $CH_3CHO$  (II) и  $HCOOH$  (III), а также их монопротонированные формы (ПФ). Расчеты ПФ проводились как с полной оптимизацией геометрии, так и с использованием предварительно оптимизированной фиксированной геометрии I—III. Обнаружено, что хорошее согласие с опытом для величин сродства к протону (СП) I—III получается только при использовании большего базиса и полной оптимизации геометрии ПФ. Поскольку такая процедура трудоемка, предложена компромиссная методика: для I—III и ПФ расчеты проводятся в базисе ОСТ-ЗГФ с полной оптимизацией геометрии, а для полученной геометрии—без оптимизации в базисе ОСТ-4-31ГФ. Такая схема воспроизводит полученное в более точном расчете убывание СП в ряду

XIV - 9799

II>III>I, согласующееся с эксперим. данными.  
В. Л. Лебедев

J<sup>-</sup> В<sub>α</sub>  
B-va



графсв. структ.

019

1979

5 Б44. Исследование протонирования методом молекулярных орбиталей. 5. Равновесные структуры и энергии ионов  $\text{R}_2\text{COH}^+$ . Del Bene J., Radovick S. A molecular orbital study of protonation. 5. Equilibrium structures and energies of ions  $\text{R}_2\text{COH}^+$ . «J. Amer. Chem. Soc.», 1978, 100, № 22, 6936—6941 (англ.).

Неэмпирическим методом ССП МО ЛКАО в миним. базисе (МБ) ОСТ-ЗГФ рассчитаны нейтральные  $\text{R}_2\text{CO}$  (I) и протонированные  $\text{R}_2\text{COH}^+$  (II) [ $\text{R}=\text{H}$  (а),  $\text{CH}_3$  (б),  $\text{NH}_2$  (в),  $\text{OH}$  (г) и  $\text{F}$  (д)], соединения, а также в расширенном базисе (РБ) 4,31ГФ Iа, Iв, Iб, IIб,  $\text{CH}_3\text{CHO}$  (Ie) и  $\text{CH}_2\text{CHONH}^+$ . Все расчеты проводили для плоских углеродных скелетов нейтр. и протонированных соединений с оптимизацией остальных геометрич. параметров. Получен след. ряд относит. значений сродства к протону (СП) замещенных I (в ккал/моль; 1-е значение получено в МБ, 2-е — в РБ): Iа 0,0 (0,0); Iб 27,9 (23,1); Iв 61,3; Iг 21,1 (9,9); Id — 6,4; Iе 15,3 (13,1).

Р.1979Н5

Отмечено, что при переходе от МБ к РБ порядок основности I<sub>6</sub> и I<sub>g</sub> меняется и ряд СП дизамещенных I<sub>a</sub> оказывается тем же, что для монозамещенных, а именно: NH<sub>2</sub>>CH<sub>3</sub>>OH>H>F. Влияние 2-го заместителя R на величину СП меньше, чем 1-го для всех R, исключая F. В последнем случае, при переходе от I<sub>a</sub> к FCHO и I<sub>d</sub> СП понижается на 0,8 и 6,4 ккал/моль соотв. При протонировании длины связей CO увеличиваются на 0,06—0,11 Å, а длины связей CR уменьшаются на 0,02—0,07 Å, в зависимости от R. Валентные углы RCR при протонировании уменьшаются на 7—9°. Характер изменения длин связей, валентных углов и распределения электронной плотности при протонировании качественно совпадает с полученным ранее для монозамещенных.

В. Фаустов

H<sub>2</sub>CO

D<sub>2</sub>CO

M, N,

M. B. Chupp

omnibus 6556

1978

89: 120007s Microwave spectrum of formaldehyde and its isotopic species in atomic deuterium, carbon-13, and oxygen-18: Study of Coriolis resonance between  $\nu_4$  and  $\nu_6$  vibrational excited states. Dangoisse, D.; Willemot, E.; Bellet, J. (Lab. Spectrosc. Hertzienne, Univ. Sci. Tech. Lille, Villeneuve d'Ascq, Fr.). *J. Mol. Spectrosc.* 1978, 71, 414-29 (Eng). In the investigation of the 8- to 370-GHz region, 41 and 57 transitions were assigned to  $\nu_4$  and  $\nu_6$  Coriolis-coupled states of H<sub>2</sub>CO and D<sub>2</sub>CO, resp. The numerical anal. based on Watson's theory of centrifugal distortion coupled with the addn. of Coriolis interaction allows obtaining a set of parameters which fits the transitions well. The rotational spectrum of the ground state of H<sub>2</sub>CO, D<sub>2</sub>CO, HDCO, H<sub>2</sub><sup>13</sup>CO, D<sub>2</sub><sup>13</sup>CO, HD<sup>13</sup>CO, H<sub>2</sub>C<sup>18</sup>O, and D<sub>2</sub>C<sup>18</sup>O were reinvestigated and a set of parameters was obtained for each species. Some  $R_A$ -type transitions of the  $\nu_3$  state of H<sub>2</sub>CO and D<sub>2</sub>CO were also obsd.

(71)

⊗

C.A. 1978, 89, 1814

1978

H<sub>2</sub>CO

4, n; Ei

23 Б48. Зависимость электростатического потенциала молекулы от базиса и метода расчета волновой функции. Случай основного,  $^3A_1(\pi \rightarrow \pi^*)$  и  $^1A_1(\pi \rightarrow \pi^*)$  состояний формальдегида. Daudel R., Le Rouzo H. Dependence of the electrostatic molecular potential upon the basis set and the method of calculation of the wave function. Case of the ground  $^3A_1(\pi \rightarrow \pi^*)$  and  $^1A_1(\pi \rightarrow \pi^*)$  states of formaldehyde. «Int. J. Quant. Chem.», 1978, 13, № 4, 537—552 (англ., рез. франц., нем.)

Неэмпирическим методом ССП МО ЛКАО в гауссовых базисах СТО—3ГФ и СТО-4—31ГФ с дополнительным включением 2р гауссовых орбиталей на атомах С и О в каждом базисе с учетом конфигурац. взаимодействия (КВ) рассчитаны электронные волновые функции формальдегида (I) в основном и возбужденных  $^3A_1(\pi \rightarrow \pi^*)$  и  $^1A_1(\pi \rightarrow \pi^*)$  состояниях. Построены контурные карты электростатич. взаимодействия I во всех этих состояниях с пробным единичным электрич. за-

2-1978, НАЗ

рядом. Изучена зависимость контурных карт от размера базиса и способа учета КВ. В КВ включались все моно- и частично дважды возбужденные состояния. При отборе дважды возбужденных конфигураций использовалась предварительная оценка энергии взаимодействия по теории возмущений. Критерий отбора менялся и за счет этого обеспечивался выход на предел, к которому стремится волновая функция при учете полностью всех дважды возбужденных конфигураций. Результаты расчета сопоставлены с данными полученными без учета КВ, с учетом КВ только между моно-возбужденными конфигурациями и с учетом КВ методом потенциала электронных дыр (ПЭД) (см. «Chem. Phys. Letters», 1972, 16, 192). Показано, что для основного состояния I результаты расчетов в обоих базисах близки. Учет КВ также не приводит к заметным изменениям контурных карт для электростатич. потенциала. Для состояния  $^3A_1(\pi \rightarrow \pi^*)$  I влияние базиса на контурные карты также мало. Учет КВ приводит к существенному изменению контурных карт, однако расчет с полным учетом КВ и расчет с учетом КВ методом ПЭД дают близкие результаты. Для состояния  $^1A_1(\pi \rightarrow \pi^*)$  обнаружено существенное влияние размера базиса на результаты расчета. К. Я. Бурштейн

H<sub>2</sub>CO

annuncio 6069 1978

J. E. del Bene

Alt<sup>+</sup>

publ. J. Amer. Chem. Soc.,  
1978, 100(6), 1673-79

$H_2CO - H_2O$

1978

$H_2CNH - H_2O$

2Д164. Исследование водородной связи с помощью локализованных орбиталей. IV. Салициловый альдегид, салицилальдимин,  $H_2CO - H_2O$  и  $H_2CNH - H_2O$ . Gordon Mark S., Morris Melvin L. Localized orbital studies of hydrogen bonding. IV. Salicylaldehyde, salicylaldimine,  $H_2CO - H_2O$ , and  $H_2CNH - H_2O$ . «Adv. Mol. Relax. and Interact. Processes», 1978, 13, № 2, 95—106 (англ.)

межмр.  
старое

Методом ССП МО ЛКАО в валентном приближении ЧПДП исследовано электронное строение связанных водородной связью (ВС) систем  $H_2CO - H_2O$  (I),  $H_2CNH - H_2O$  (II) (межмолекулярная ВС), салицилового альдегида (III) и салицилальдимина (IV). (внутри)молекуляр-

(71) ☒



Р. 1979. 2

ная ВС). Проведена оптимизация геометрии. Приведены распределения электронной плотности, дипольные моменты, геометрические и энергетич. характеристики. По схеме Эдмистона—Рюденберга рассчитаны локализованные МО. Показано, что внутримолекулярная ВС O—H...X в III прочнее межмолекулярной в I, тогда как внутримолекулярная ВС N—H...O в IV слабее межмолекулярной ВС в II. Результаты анализа локализованных МО согласуются с данными предыдущих работ. Отмечено, что энергия стабилизации системы при образовании ВС состоит из энергии самой ВС (главный вклад) и небольшой дестабилизирующей добавки из-за ослабления связи X—H в молекуле — доноре протона. Ч. III. см. Morris M. L. et al., «J. Molec. Struct.», 1976, 34, 263.

В. Л. Лебедев

H<sub>2</sub>CO

1978

Bresch P., Pullman A.

Theor. Chim. Acta, 1978, 49, n<sup>o</sup> 4,  
283-284.

Задача  
составлена



(cav. H<sub>2</sub>O )<sup>III</sup>

отмск 6449

1948

$\cdot H_2CO$

$HDCO$

радиоакт.  
спектр

1 Б319. Двойной резонанс и переходы, индуцированные соударениями, в радиочастотных спектрах  $H_2CO$  и  $HDCO$ , наблюдавшиеся внутри ячейки  $CO_2$  лазера. Glorieux P., Hills G. W. Double resonance and collision-induced transitions in the radiofrequency spectra of  $H_2CO$  and  $HDCO$  observed inside the cavity of a  $CO_2$  laser. «J. Mol. Spectrosc.», 1978, 70, № 3, 459—468 (англ.).

Методами ИК-МВ и ИК-РЧ двойных резонансов внутри ячейки  $CO_2$ -лазера измерены сигналы резонансов между компонентами К-дублетов  $H_2CO$  и  $HDCO$ . Сигналы наблюдали в области частот от 50 до 5000 Мгц при использовании ИК-излучения  $CO_2$ -лазера в диапазоне от 9 до 10 мк. Для ряда сильных резонансов найдены дополнительные переходы, индуцированные соударениями. Для нескольких лазерных линий зарегистрированы двухфотонные переходы типа РЧ+ИК. Большое число РЧ-сигналов в  $HDCO$  осталось неидентифицированным. Некоторые из этих резонансов вызваны либо примесными молекулами, либо переходами между вырожденными состояниями.

С. Н. Мурзин

Октябрь 84/2

2:1949/12

H<sub>2</sub>CO

Amherst 6779

1978

Check

89: 50856s Double resonance and collision-induced transitions in the radiofrequency spectra of formaldehyde and formaldehyde (HDCO) observed inside the cavity of a carbon dioxide laser. Glorieux, P.; Hills, G. W. (Herzberg Inst. Astrophys., Natl. Res. Coun. Canada, Ottawa, Ont.). *J. Mol. Spectrosc.* 1978, 70(3), 459-68 (Eng). Many radiofrequency resonances corresponding to transitions between the 2 components of a K-type doublet in H<sub>2</sub>CO and HDCO were obsd. using IR-radiofrequency double resonance inside a CO<sub>2</sub> laser cavity. For strong resonances, addnl. transitions induced by collisions were also obsd. and these provide information on collisional processes. The collision-induced transitions also provide a method for assigning the K doublet frequencies in the ground and  $v_4 = 1$  states of H<sub>2</sub>CO, and in the ground,  $v_5 = 1$ , and  $v_6 = 1$  states of HDCO; the rovibrational transitions pumped by the CO<sub>2</sub> laser can therefore be detd. The upper state rotational transitions and the IR frequencies for the transitions in exact coincidence with the CO<sub>2</sub> laser lines provide accurate addnl. data in the anal. of the conventional IR spectrum of the  $v_5$  and  $v_6$  bands in HDCO. In addn., the 195-μm far-IR laser line in HDCO, obsd. by D. Dangoisse et al. (1977) was assigned as the 24<sub>6,19</sub> - 23<sub>6,18</sub> transition in the  $v_6 = 1$  state.

8412

Amherst

C. A.  
1978, 89  
X3

HCHO

6mmuck 6901

1978

(A.P.)

89: 153085u The equilibrium systems  $\text{H}_3\text{CO}^+(\text{HCN}, \text{HCH}=\text{O})\text{H}_2\text{CN}^+$ ,  $\text{H}_3\text{CO}^+(\text{H}_2\text{S}, \text{HCHO})\text{H}_2\text{S}^+$  and the relative proton affinities of formaldehyde, hydrogen cyanide, and hydrogen sulfide. Freeman, C. G.; Harland, P. W.; McEwan, M. J. (Dep. Chem., Univ. Canterbury, Christchurch, N. Z.). *Int. J. Mass Spectrom. Ion Phys.* 1978, 28(1), 19-25 (Eng). The 2 reaction systems,  $\text{H}_3\text{CO}^+ + \text{H}_2\text{S} \rightleftharpoons \text{H}_3\text{S}^+ + \text{HCHO}$  and  $\text{H}_3\text{CO}^+ + \text{HCN} \rightleftharpoons \text{H}_2\text{CN}^+ + \text{HCHO}$ , was studied at 300 K in a flowing afterglow system in both the forward and reverse directions. From the measured equil. consts. and calcd. entropies, the relative proton affinities are:  $PA(\text{HCHO}) = PA(\text{HCN}) + 1.6(\pm 0.4) \text{ kJ mol}^{-1}$ ;  $PA(\text{HCHO}) = P(\text{H}_2\text{S}) + 4.0(\pm 0.4) \text{ kJ mol}^{-1}$ . Rate consts. were also measured in the forward and reverse direction for both reaction systems.

C. A. 1978, 29 N 18

Lommeca 6898J 1978

Mase M.-L., et al

CH<sub>2</sub>O

(g)

Theor. chim. acta, 1978,  
48, n1, 47-57



(See Mao: III)

1978

$\text{H}_2\text{CO}$   
 $\text{HCOOH}$   
 $\text{HCONH}_2$   
 $\text{C}_2\text{H}_2\text{O}_4$   
 $\text{CH}_3\text{OH}$   
 $\text{CH}_2\text{CO}$   
 равновесия  
 газов

42 Д143. Полуэмпирические расчеты изменений геометрической и колебательной структуры при ионизации. Kato Hiroshi, Yamashita Koichi, Kato Shigeki. Semiempirical calculations on the changes of geometrical and vibrational structures on ionization. «J. Phys. Chem.», 1978, 82, № 19, 2115—2120 (англ.)

Методом ССП МО ЛКАО в валентном приближении МЧПДП/3 рассчитана равновесная геометрия формальдегида, муравьиной к-ты, формамида, цис- и трансформ шавелевой к-ты, кетена и метилового спирта и их ионизированных форм (отщепление электрона неподеленной пары атома O). Приведены потенциалы ионизации (по теореме Купманса и как разности энергий нейтральной и ионизированной молекул), спиновые плотности, факторы Франка—Кондона, колебательные частоты, равновесная геометрия. На основании полученных результатов детально обсуждены изменения в геометрии и колебательных характеристиках молекул при ионизации. В. Л. Л.

9. 1978, 2

(75) ☒

*H<sub>2</sub>CO*

*Кб. цикл.  
исслед.*

*Однотица 7185*

*1978*

10 Б51. Неэмпирическое исследование фотохимии формальдегида. Поиск стабильного оксикарбенового интермедиата. Кетрег М. J. Н., van Dijk J. M. F., Buck H. M. Ab initio calculation on the photochemistry of formaldehyde. The search for a hydroxycarbene intermediate. «J. Amer. Chem. Soc.», 1978, 100, № 25, 7841—7846 (англ.)

Неэмпирическим методом ССП МО ЛКАО в базисах 4-31ГФ (Б1) и в базисе (9s5p/4s), сгруппированном в [4s3p/2s] (Б2) рассчитаны основное ( $S_0$ ) и возбужденные состояния ( $S_1$  и  $T_1$ ) формальдегида (I) и оксикарбена HCOH (II), а также сечения потенциальных поверхностей  $S_0$  и  $S_1$  перегруппировки I → II (1) и начальных стадий р-ций фрагментации I → H<sub>2</sub> + CO (2) и I → H· + HCO· (3). Оптимизацию геометрии I, II и вдоль исследуемых сечений потенциальных поверхностей проводили для состояний  $S_0$  и  $T_1$  в Б1, для состояния  $S_1$  использована геометрия, оптимизированная для  $T_1$ . Энергии равновесных структур и переходного состояния (ПС) р-ции 1 уточняли одиночным расчетом в Б2 с учетом конфигурац. взаимодействия (КВ) 175 конфигураций. Для всех трех р-ций вдоль

*22.1979 № 2*

потенциальных кривых рассчитаны элемен-  
ты, характеризующие вероятность безызлучательного  
перехода между состояниями  $S_1$  и  $S_0$ . Эти расчеты  
показывают, что переход между состояниями  $S_0$  и  $S_1$   
наиболее вероятен при движении вдоль координаты  
р-ции I. Относительно  $S_0$  состояния  $S_1$  и  $T_1$  имеют  
след. энергии: Б2 с КВ, состояние  $S_1$  I 71,9, II 123,7;  
базис Б1, состояние  $T_1$  I 35,5, II 58,7. Здесь и ниже  
все энергии приведены в ккал/моль. Для энталпии  
р-ции I (ЭР) и энергии активации (ЭА) получены  
след. значения (первым приведено ЭР, вторым — ЭА);  
Б1, состояние  $S_0$  51,2; 110,2; состояние  $T_1$  23,2; 65,4;

Б2 с КВ, состояние  $S_1$  51,8; 81,5. Для р-ции I прове-  
дены расчеты потенциальной кривой в присутствии 2-й  
молекулы I, играющей роль катализатора. В этом слу-  
чае ЭА снижается для р-ции в состоянии  $S_0$  на  
7,7 ккал/моль, в состоянии  $T_1$  на 5,5 ккал/моль. Отме-  
чено, что рассматривалась лишь одна модель взаимо-  
действия в ПС и не исключена возможность сущест-  
вования других более эффективных схем катализа.  
Сделан вывод, что II, в кач-ве интермедиата, может  
играть важную роль в фотохимии I.

В. Фаустов

H<sub>2</sub>CO

1978

Akollman Peter A.

J. Am. Chem. Soc. 1978,  
100(10), 2974-84

pacnpeged.  
zspags

cat. HF - III

*H<sub>2</sub>CD*

1948

10 Д368. Фотоабсорбция в формальдегиде: интенсивности и расшифровка спектра в дискретном и континуальном спектральных интервалах. Langhoff P. W., Orel A. E., Rescigno T. N., Макку В. В. Photoabsorption in formaldehyde. Intensities and assignments in the discrete and continuous spectral intervals. «J. Chem. Phys.», 1978, 69, № 10, 4689—4705 (англ.)

*Сервис  
фотоабсорбции  
спектр*

Проведен теоретич. расчет полного и парциальных сечений фотоабсорбции в молекуле формальдегида. Для описания фотовозбужденных и испущенных электронов использованы ф-ции Хартри—Фока и базисные наборы компактных и диффузных гауссианов. Расчитан одноэлектронный дипольный спектр для  $2b_2(n)$ ,  $1b_1(\pi)$ ,  $5a_1(\sigma)$ ,  $1b_2$  и  $4a_1$  канонических молекулярных орбиталей. Рассчитанный дискретный спектр обеспечивает хорошее нулевое приближение для описания как валентных, так и ридберговых переходов. Определены парциальные

Ф. 1948/110

сечения рассеяния для 15 каналов реакции, связанных с ионизацией 5 заселенных молекулярных орбиталей. Рассмотрены резонансные особенности некоторых сечений фотоионизации. Найденные сечения для различных электронных переходов находятся в хорошем согласии с имеющимися экспериментальными и расчетными данными. Библ. 56.

Н. Филиппов



*H<sub>2</sub>CO*

9 562. Фотопоглощение в формальдегиде: интенсивности и отнесение переходов в дискретном и непрерывном спектральном интервалах. Langhoff P. W., Ogel A. E., Rescigno T. N., McKoy B. V. Photoabsorption in formaldehyde: Intensities and assignments in the discrete and continuous spectral intervals. «J. Chem. Phys.», 1978, 69, № 10, 4689—4705 (англ.)

1978

Рассчитано полное сечение фотопоглощения и сечения, связанные с различными каналами фотоионизации в дискретном и непрерывном спектрах формальдегида. Электронная волновая ф-ция рассчитана неэмпирич. методом ССП МО ЛКАО в биэкспоненциальном базисе с дополнительным включением поляризац. орбиталей на атомах С и О. Для расчета дискретных и непрерывных электронных спектров поглощения использована разработанная авторами ранее методика (см. «J. Chem. Phys.», 1975, 61, 146; «Int. J. Quantum Chem., Symp.», 1977, 11, 301), основанная на технике Стильтесса — Чебышева (в теории спектральных моментов) и приближении исправленных виртуальных орбиталей. Дано отнесение наблюдаемых полос в спектре поглощения по типу симметрии для вертикальных электронных переходов, выделены вклады отдельных каналов (под каналом авторы понимают переходы с одной электронной

*показывает  
существование  
фотопоглощений  
исследований*

*Г. М. Н.*

*2.15.7.4.19*

орбитали) в суммарное сечение поглощения, рассмотрены резонансные эффекты в переходах, имеющих симметрию конечных орбиталей  $ka_1$  и  $kb_1$ . Получено полное сечение вертикальных электронных переходов, приводящих к фотопоглощению и фотонизацию. Электронные переходы с орбитали  $2b_2(n)$  вертикальным потенциалом ионизации (ВПИ) 10,5 эВ с заметными интенсивностями могут происходить на орбитали  $(na_1)^1B_2$ ,  $(nb_2)^1A_1$  и  $(na_2)^1B_1$ . Переходы в состояния  $na_1$  содержат две ридберговские серии  $nsa_1$  и  $pra_1$  а также переход на валентную  $a_1\sigma^*$  (CO) орбиталь, имеющий наибольшую интенсивность. Переходы в состояния  $nb_2$  содержат одну ридберговскую серию  $2b_2 \rightarrow prb_2$  и два более интенсивных перехода в валентные состояния на орбитали  $b_2\sigma^*$  (CH) и  $b_2\pi^*$  (CO). Интенсивности переходов на орбитали  $na_2$  согласно полученным результатам очень малы. Возбуждения с орбитали  $1b_1(\pi)$  ВПИ 14,4 эВ состоят из ридберговских серий  $1b_1 \rightarrow nda_2$ ,  $1b_1 \rightarrow prb_1$ ,  $1b_1 \rightarrow nsa_1$ ,  $1b_1 \rightarrow pra_1$  и одного валентного перехода  $1b_1 \rightarrow a_1\sigma^*$  (CO). Возбуждения с орбитали  $5a_1(\sigma)$  с ВПИ 16,0 эВ состоят из ридберговских серий  $5a_1 \rightarrow prb_2$ ,  $5a_1 \rightarrow nsa_1$ ,  $5a_1 \rightarrow pra_1$  и  $5a_1 \rightarrow prb_1$  и валентного перехода  $5a_1 \rightarrow b_1\pi^*$ . Возбуждения с орбитали  $1b_2$  с ВПИ 17,7 эВ состоят из ридберговских серий  $1b_2 \rightarrow nsa_1$ ,  $1b_2 \rightarrow pra_1$ ,  $1b_2 \rightarrow prb_2$  и  $1b_2 \rightarrow nda_2$ . Приведены энергии и интенсивности для всех этих переходов. Все остальные электронные переходы из перечисленных состояний имеют очень маленькую интенсивность. Резонансные эффекты в рассчитанных сечениях для каждого канала (наибольшие интенсивности переходов) в основном связаны с вкладами от валентных переходов в состояния  $a_1\sigma^*$  (CO),  $a_1\sigma^*$  (CH) и  $b_2\sigma^*$  (CH)/ $\pi^*$  (CO). Полученные результаты хорошо согласуются с экспериментом и данными неэмпирических расчетов методом конфигурационного взаимодействия. Небольшие расхождения качественных объяснены авторами различной величиной базисного набора орбиталей.

Следует однако отметить, что суммарное сечение получилось сильно завышенным для всех энергий возбуждения. К. Я. Бу.

HCHO

Omura 6300

1978

Zyriński J., et al.

эксперимент;  
воздухе;  
re SH  
кб. мк.  
рад.

Acta Phys Pol. A 1978,  
A 53(2), 229-34

cell.  $NH_3 - \bar{III}$

*1978*  
*H<sub>2</sub>CO*

5 Д... Времена жизни рови, линий, уровней  
 $\text{H}_2\text{CO}({}^1\text{A}_2)$ , измеренные в молекулярном пучке.  
Luntz A. C. Lifetimes of rovibronic levels of  $\text{H}_2\text{CO}$   
( ${}^1\text{A}_2$ ) measured in a molecular beam. «J. Chem. Phys.»,  
1978, № 7, 3436—3438 (англ.)

Измерены времена жизни некоторых вращательно-ко-  
лебательных уровней  $\text{H}_2\text{CO}({}^1\text{A}_2)$ . Используется метод  
пересекающихся пучков (лазерного и молекулярного  
пучка  $\text{H}_2\text{CO}$ , получаемого с помощью двойного эф-  
зионного источника). Найдено, что времена жизни ра-  
ны: для  $K'=3$ ,  $\tau=3,6 \pm 0,3$ ;  $K'=2$ ,  $\tau=2,6 \pm 0,3$ ;  $K'=1$ ,  
 $\tau=0,7 \pm 0,3$  мкsec. Измеренные времена хорошо согла-  
ются с данными других экспериментов. А. П. Калинин

(ε)

Ф.1978.05

H<sub>2</sub>CO

1978

Rb. Mex.  
Packer

Mo Otilia, et al.

Theor. chim. acta, 1978,  
47, N4, 263-273.

(err. H<sub>2</sub>O;  $\bar{M}$ )

$H_2CO$

$D_2CO$

спектр  
в матрице

(+)

д. 1979, № 12

12 Б165. Исследование электронной и колебательной релаксации методом матричной фотолюминесцентной спектроскопии. 2.  $A^1A_2$  состояние формальдегидов  $H_2CO$ ,  $HDCO$  и  $D_2CO$ . Mollna Lulsa T., Tang Kenneth Y., Sodeau John F., Lee Edward K. C. Electronic and vibrational relaxation studied by photoluminescence spectroscopy in low temperature matrices. 2.  $A^1A_2$  state of formaldehydes ( $H_2CO$ ,  $HDCO$ , and  $D_2CO$ ). «J. Phys. Chem.», 1978, 82, № 24, 2575—2578 (англ.)

Измерены спектры люминесценции, спектры возбуждения и времена жизни люминесценции формальдегидов  $H_2CO$ ,  $HDCO$  и  $D_2CO$  в тв. Хе-матрицах. Показано, что эмиссионный спектр при лазерном возбуждении состоит только из флуоресценции с чисто электронного  $A^1A_2$  состояния. Обнаружена также быстрая колебательная релаксация с предиссоц. высших колебательных уровней. Измерены времена жизни  $\bar{A}$  состояния в условиях Хе-матрицы при т-ре 20 К и скорости индуцированной матрицей электронной релаксации. В случае  $D_2CO$  отмечено уменьшение времени жизни флуоресценции по сравнению с газовой фазой на порядок. Сделан вывод, что поведение формальдегида ближе соответствует модели малой молекулы. Сообщ. 1 см. «J. Phys. Chem.», 1976, 80, 244.

О. Г. Гаркуша

1978

*H<sub>2</sub>CO*

*D<sub>2</sub>CO*

*спектр  
флуоресценции*

(+)

10.12

5 Д737. Исследование электронной и колебательной  
релаксации по спектрам фотолюминесценции в низко-  
температурных матрицах. Ч. II. Состояние  $\tilde{A}^1A_2$  фор-  
мальдегидов H<sub>2</sub>CO, HDCO и D<sub>2</sub>CO. Mollna Lul-  
sa T., Tang Kenneth Y., Sodeau John R., Lee-  
Edward K. C. Electronic and vibrational relaxation  
studied by photoluminescence spectroscopy in low tem-  
perature matrices. 2.  $\tilde{A}^1A_2$  state of formaldehydes (H<sub>2</sub>CO,  
HDCO, and D<sub>2</sub>CO). «J. Phys. Chem.», 1978, 82, № 24,  
2575—2578 (англ.)

В области 340—490 нм получены спектры испуска-  
ния молекул H<sub>2</sub>CO, HDCO и D<sub>2</sub>CO в Xe-матрице при  
т-ре 20° К. Конц-ия растворов составляла 1 : 100.  
В спектрах, возбуждавшихся He—Cd-лазером, наблю-  
далась полоса флуоресценции, соответствующая излу-  
чательному распаду нулевого колебательного уровня  
состояния  $\tilde{A}^1A_2$ . Исследование кинетики тления флуо-

*Ф.1978.15*

Флуоресценции формальдегидов из этого состояния позволило определить его время жизни: 54, 105 и 508 сек для  $\text{H}_2\text{CO}$ ,  $\text{HDCO}$  и  $\text{D}_2\text{CO}$  соответственно. Установлено, что константы скорости тушения флуоресценции вследствие влияния матрицы для разных образцов лежат в интервале от  $2 \cdot 10^6$  до  $6 \cdot 10^6$  сек $^{-1}$ . Обсужден характер релаксационных процессов в формальдегидах и высказано мнение о том, что этот характер позволяет отнести их скорее к малым, чем к большим молекулам. См. Ч. I. Sodeau J. R. et al., «Chem. Phys. Lett.», 1978, 57, 71. Библ. 29.

М. Т.

1978



89: 33637d Infrared intensity analysis of some  $\text{MXY}_2$  type molecules. Naik, Pratibha; Rao, N. Rajeswara (Dep. Phys., Osmania Univ., Hyderabad, India). *Pramana* 1978, 10(2), 207-12 (Eng). IR intensity anal. of  $\text{MXY}_2$  type mols. was attempted. The dipole moment  $\mu$  of C:O is different for different mols.: for  $\text{CH}_2\text{O}$ , 1.9052; for  $\text{COCl}_2$ , 1.1517; for  $\text{COF}_2$ , 0.6340; and for  $\text{COBr}_2$ , 0.7687. Similarly in the case of  $\text{CSF}_2$  and  $\text{CSCl}_2$   $\mu$ s it was 0.2473 and 0.2983, resp. This shows that the effect of the electroneg. halogen atoms is very important.

$\mu$ , ~~infrared spectra~~,  
R. K. Chakraborty

C.A. 1978, 89, NY

(+4)

НСООН

1978

H<sub>2</sub>CO

И.И.

2Б269 Спектр формальдегида в области фундаментальных полос валентных колебаний С—Н измеренный с разрешением лимитированным допплеровским уширением. Рipe A. S. Doppler-limited spectra of the C—H stretching fundamentals of formaldehyde. «J. Mol. Spectrosc.», 1978, 70, № 2, 167—178 (англ.)

Измерен спектр поглощения формальдегида в области полос вал. кол. С—Н  $\nu_1$  и  $\nu_5$  ( $2700—3000 \text{ см}^{-1}$ ,  $p=0,5 \text{ мм}$ ,  $l=20,6 \text{ см}$ ,  $T=20^\circ$ ). Использовались спектрометр разностной частоты,  $\text{Ag}^+$ -лазер и лазер с перестраиваемой частотой. Рассмотрены вопросы стабилизации частоты лазеров, калибровки спектров и методи-



2. 1979/2

ка измерения абс. интенсивности линий. Разрешение лимитировалось допплеровским уширением линий. Помимо обычной записи спектра на самописце, применена цифровая запись с последующей передачей и обработкой получаемой информации на ЭВМ. С высокой точностью ( $\sim 10^{-3}$  см $^{-1}$ ) измерено положение более 4300 линий с интенсивностью от  $\sim 0,05$  до 30 мм $^{-1}$ м $^{-1}$ , принадлежащих полосам  $v_1$ ,  $v_5$ ,  $v_2+v_6$ ,  $v_2+v_4$ ,  $2v_3$ ,  $v_3+v_6$ . Положение центров первых двух полос — 2782, 4572 и 2843, 3254 см $^{-1}$  — согласуется со значениями, полученными ранее. Определены интегральные интенсивности полос  $S(v_1) = 0,91 \cdot 10^{-17}$  см $^{-1}$ /моль·см $^2$  ( $T=313$  К) и  $S(v_5) = 1,12 \cdot 10^{-17}$  см $^{-1}$ /моль·см $^2$  ( $T=313$  К) (при нормальных условиях  $S(v_1) = 213$  см $^{-1}$ /амага·см,  $S(v_5) = 263$  см $^{-1}$ /амага·см). Рассчитаны эффективные дипольные моменты  $|<v_1|\mu|v_0>| = 0,089 \pm 0,005$  D,  $|<v_5|\mu|v_0>| = 0,097 \pm 0,005$  D.

В. М. Ковба

1978

H<sub>2</sub>CO

V<sub>1</sub>, v<sub>5</sub>, n.

12 Д480. Полосы валентных колебаний связи С—Н формальдегида с разрешением, ограниченным доплеровским уширением. Pine A. S. Doppler-limited spectra of the C-H stretching fundamentals of formaldehyde. «J. Mol. Spectrosc.», 1978, 70, № 2, 167—178 (англ.)

Получены колебательно-вращательные спектры газообразного формальдегида (I) при давл. 0,5 мм рт. ст. и т-ре 40° С в области 2,2—4,2 мк при возбуждении излучениями Ar<sup>+</sup>-лазера и лазера на красителе, смешанными в кристалле LiNbO<sub>3</sub>. Зарегистрированы полосы  $\nu_1$  и  $\nu_5$  I, а также ряд полос оберточных колебаний I. Погрешность измерений значений частот и абс. значений интенсивности полос I составляла  $10^{-3}$  см<sup>-1</sup> и 2% со<sup>2</sup>ответственно. Частоты центров полос  $\nu_1$  и  $\nu_5$  I равны  $2782,4572 \pm 0,0010$  и  $2843,3254 \pm 0,0015$  см<sup>-1</sup> и не зависят от значений вращательных постоянных верхнего состояния. Библ. 21

И. В. А.

Ф. 1978, № 12

1978

H<sub>2</sub>CO

88: 200398q Doppler-limited spectra of the carbon-hydrogen stretching fundamentals of formaldehyde. Pine, A. S. (Lincoln Lab., Massachusetts Inst. Technol., Lexington, Mass.). *J. Mol. Spectrosc.* 1978, 70(2), 167-78 (Eng). The Doppler-limited spectrum of H<sub>2</sub>CO at 2700-3000 cm<sup>-1</sup> was

recorded using a tunable difference-frequency laser system. This region encompasses the  $\nu_1$  and  $\nu_5$  fundamental C-H stretching bands of H<sub>2</sub>CO as well as a no. of strongly interacting combination bands. The tunable laser spectrometer affords complete spectral coverage with a calibration precision better than 10<sup>-3</sup> cm<sup>-1</sup> for the transition frequencies and with abs. absorption intensity measurements better than 2%. The band centers for the  $\nu_1$  and  $\nu_5$  vibrations are  $2782.4572 \pm 0.0010$  cm<sup>-1</sup> and  $2843.3254 \pm 0.0015$  cm<sup>-1</sup> resp., independent of the upper-state rotational consts.

C.A. 1978, 88, 126

H<sub>2</sub>CO emmache 6751 1978

Pouchan C; et al.

monica.

Environ;  
Climatol;  
Hb. veev.  
Paccer

J. chim. phys. (Fr)  
1978, 75 (6),  
595-605.

~~H<sub>2</sub>CO~~ omniucc 6302 1978  
Sauer J.

Chem. Phys. Lett., 1978,  
55 (1), 119-24.

Effective semi-empirical  
excited state calculations  
(cu. HCN; ii)

*H<sub>2</sub>CO*

*H<sub>2</sub>N*

*XIV - 9066*

3 Д302. Анализ  $4_0^1$  полос  $\text{H}_2^{13}\text{C}^{16}\text{O}$  и  $\text{H}_2^{12}\text{C}^{18}\text{O}$ .  
Shah A. K., Moule D. C. An analysis of the  $4_0^1$  bands  
of  $\text{H}_2^{13}\text{C}^{16}\text{O}$  and  $\text{H}_2^{12}\text{C}^{18}\text{O}$ . «Spectrochim. acta», 1978, A34,  
№ 7-8, 749—760 (англ.)

Получены УФ-спектры поглощения газообразного формальдегида вблизи 350 нм с разрешением  $\sim 0,07 \text{ см}^{-1}$ . Описано приготовление изотопич. молекул. Спектры связаны с полосами  $4_0^1(v' = 1 \leftrightarrow v'' = 0)$  электронного перехода  $\tilde{\text{A}}^1\text{A}_2 \leftarrow \tilde{\text{X}}^1\text{A}_1$ . Приведены частоты наблюденных линий и их отнесение к вращательным переходам, выполненное на ЭВМ диагонализацией вращательного гамильтонiana нежесткого асимметричного волчка. Определены вращательные постоянные и константы центробежного растяжения молекулы  $\text{H}_2^{12}\text{C}^{18}\text{O}$  в основном и возбужденном колебательных состояниях и  $\text{H}_2^{13}\text{C}^{16}\text{O}$  в возбужденном состоянии. По вращательным постоянным двух молекул определена их геометрия. Библ. 11.

М. Тонков

*φ, 1979/13*

*H<sub>2</sub>CO*

1978

6 Б193. Анализ полосы  $4_0^1\text{H}_2^{13}\text{C}^{16}\text{O}$  и  $\text{H}_2^{12}\text{C}^{18}\text{O}$ .  
Shah A. K., Moule D. C. An analysis of the  $4_0^1$   
bands of  $\text{H}_2^{13}\text{C}^{16}\text{O}$  and  $\text{H}_2^{12}\text{C}^{18}\text{O}$ . «Spectrochim. acta»,  
1978, A34, № 7—8, 749—760 (англ.)

Измерена с высоким разрешением и проанализирована вращательная структура полосы  $4_0^1$  перехода  $A^1A_2 - X^1A_1$  в спектрах поглощения  $\text{H}_2^{13}\text{C}^{16}\text{O}$  и  $\text{H}_2^{12}\text{C}^{18}\text{O}$ . Получены след. значения  $v_0$  ( $4_0^1$ ), вращательных постоянных  $A$ ,  $B$ ,  $C$ ,  $D_k(\cdot 10^4)$ ,  $D_{ij}(\cdot 10^6)$ ,  $D_g(\cdot 10^6)$ ,  $R_s(\cdot 10^6)$  ( $\text{см}^{-1}$ ):  $\text{H}_2^{13}\text{C}^{16}\text{O} - 28322,417$ ,  $8,73957$ ,  $1,09244$ ;  $0,98648$ ;  $5,23$ ;  $6,03$ ;  $3,05$ ;  $-6,1$ ;  $\text{H}_2^{12}\text{C}^{18}\text{O} - 28320,581$ ;  $8,75266$ ;  $1,06813$ ;  $0,96652$ ;  $5,09$ ;  $5,76$ ;  $2,82$ ;  $-9,5$ . В результате совместной обработки данных по вращательным постоянным пяти изотопозамещ. молекулам формальдегида (кроме двух указанных,  $\text{D}_2^{12}\text{C}^{16}\text{O}$ ,  $\text{HD}^{12}\text{C}^{16}\text{O}$  и  $\text{H}_2^{12}\text{C}^{16}\text{O}$ ) определены геометрические параметры  $\text{H}_2\text{CO}$  в состоянии  $A^1A_2$  ( $n\pi^*$ ,  $v_4=1$ ):  $r(\text{C}-\text{H}) = 1,095 \text{ \AA}$ ,  $r(\text{C}=\text{O}) = 1,320 \text{ \AA}$ ,  $\text{HCH} = 118,78^\circ$ , угол выхода из плоскости —  $30,73^\circ$ .

В. М. Ковба

XIV-9066

4, 17

д. 1979 № 6

НСОИ

отмечи 6377

1978

23 Б1301. Оксиметилен (НСОИ) как промежуточный продукт при низкотемпературных фотохимических реакциях формальдегида в матрице. Sodeau J. R., Lee E. K. C. Intermediacy of hydroxymethylene (НСОИ) in the low temperature matrix photochemistry of formaldehyde. «Chem. Phys. Lett.», 1978, 57, № 1, 71—74 .(англ.)

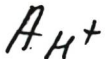
Изучены фотохим. р-ции ( $220 < \lambda < 410$  нм) различных по изотопному составу формальдегидов в матрицах Аг и СО при  $12^{\circ}$  К. По ИК-спектрам проведен анализ продуктов. По мнению авторов при фотолизе формальдегида в кач-ве промежут. частицы образуется оксиметилен.

В. И. Пергушов

21.08.1978

отмечено 6361

1978



(+)

ф 1978 № 11

11 Д217. Вертикальное сродство к протону  $\text{CH}_2\text{O}$  и  $\text{CH}_2\text{OH}^+$  в основном синглетном, возбужденном триплетном и ионизованном дублетном состояниях. Strausz Otto P., Kozmutza Cornelia, Karay Ede, Robb Michael A., Theodorakopoulos Giannoula, Csizmadia Imre G., Vertical proton affinities of  $\text{CH}_2\text{O}$  and  $\text{CH}_2\text{OH}^+$  in their ground singlet, excited triplet and ionized doublet states. «Theor. chim. acta», 1978, 48, № 3, 215—221 (англ.)

Неэмпирическим методом ССП в двойном экспоненц. базисе гауссовых ф-ций рассчитана электронная структура основного синглетного состояния, низших возбужденных триплетных состояний, получающихся в результате  $n \rightarrow \pi^*$ - и  $\pi \rightarrow \pi^*$ -переходов, и ряда ионизированных дублетных состояний молекулы формальдегида и егоmono- и дипротонированных форм. Найдено, что в основном синглетном состоянии  $\text{H}_2\text{CO}$  является более сильным основанием, чем в возбужденных триплетных, апротонирование ионизированного дублетного состояния эндотермично.

О. В. Сизова

отмск 6361

1948



$A\bar{e}, E_i, \gamma.$

(+) 18

х. 1948, № 24

24 Б68. Вертикальное сродство к протону  $\text{CH}_2\text{O}$  и  $\text{CH}_2\text{O}^+$  в основных синглетных, возбужденных триплетных и ионизированных дублетных состояниях. Strausz O. P., Kozmutza C., Karu E., Robb M. A., Theodorakopoulos G., Csizmadia I. G. «Theor. chim. acta», 1978, 48, № 3, 215—221 (англ.)

Приведены результаты прямых самосогласованных расчетов основного синглетного, нескольких низколежащих возбужденных триплетных и ионизированного дублетного состояния формальдегида и егоmono- и ди-протонированных производных:  $\text{CH}_2\text{O}$ ,  $\text{CH}_2\text{OH}^+$  и  $\text{CH}_2\text{OH}^{2+}$ . Расчеты проведены ограниченным методом ССП МО ЛКАО для закрытых и открытых оболочек с использованием двухэкспонентного базиса функций слейтеровского типа с разложением по сокращенному набору примитивных гауссовых функций по Вейяру. Геометрич. параметры не варьировались. С использованием рассчитанных значений энергий возбуждений ЭВ и потенциалов ионизации ПИ построена полная «энергетическая» таблица, связывающая различные протони-

рованные формы формальдегида и их ионы с непротонированной формой. Показано, что функциональное поведение ПИ для состояний с  $n$ - и  $\pi$ -дырками отличается от поведения ЭВ, первые линейно меняются с увеличением числа атомов Н, а вторые при этом практически не изменяются. Полученные результаты сопоставлены с данными оценок в рамках теоремы Купменса и приближением виртуальных орбиталей. Показано, что одноэлектронное приближение качественно воспроизводит данные  $\Delta$  ССП, однако колич. отличия велики (2—4 эв). Отмечено, что одноэлектронное приближение значительно переоценивает энергетич. разности, тогда как метод  $\Delta$  ССП их несколько недооценивает. В последнем случае это связано с корреляционными эффектами, для которых справедливо соотношение  ${}^1E_{\text{кор}} > {}^3E_{\text{кор}} \approx {}^2E_{\text{кор}}$ .

С. П. Долин

укту  
? А

$\text{HCOH}^{2+}$  Dissociation 6724

1978

Summers W. L. et al.

Theor. chim acta

1978, 44, 223-34

ab initio Studies of the  
Protonation of...

*H<sub>2</sub>CO*

1978

90: 94645x Laser induced fluorescence emission spectroscopy of formaldehyde(A,<sup>1</sup>A<sub>2</sub>). Tang, Kenneth Y.; Lee, Edward K. C. (Dep. Chem., Univ. California, Irvine, Calif.). *NBS Spec. Publ. (U. S.)* 1978, 526, 72-4 (Eng). The fluorescence emission spectra of H<sub>2</sub>CO taken at 3207.0 Å and 3215.1 Å excitation using a flashlamp-pumped dye laser are given. The spectra characterize the emission from the levels 5<sup>1</sup> and 1<sup>1</sup>4<sup>1</sup>, indicating that the intramol. energy flow between these 2 vibronic levels is slow compared to the time state of the unimol. decay processes. The present data indicate that the radiative transitions (even from the 5<sup>1</sup> level) show insignificant involvement of the ν<sub>5</sub> mode for the Herzberg-Teller type vibronic coupling but yet the overall radiative rate from the 5<sup>1</sup> level is 1.8 times greater than that from the 1<sup>1</sup>4<sup>1</sup> level.

*Chunp  
graphics*

C. A. 1979. 90 v12

HCHO

ISSN 0008-622X 6745 1978.

Tresic M; et al.

ICL. 300.  
jacket

Can. J. Chem., 1978,  
56 (11), 1582 -85

1978

*H<sub>2</sub>CO*

8 Д180. Неэмпирический расчет методов КВ излучательного и безызлучательного распада формальдегида (<sup>1</sup>A<sub>2</sub>) и описание его фотохимического разложения.  
 Van Dijk J. M. F., Kemper M. J. H., Kegre J. H. M.,  
 Buck H. M. Visser G. J. Ab-initio CI calculation of  
 radiative and non-radiative decay of formaldehyde (<sup>1</sup>A<sub>2</sub>)  
 with application to its photochemical decomposition.  
 «Chem. Phys. Lett.», 1978, 54, № 2, 353—356 (англ.)

Методом конфигурац. взаимодействия в двухэкспоненциальном базисе сгруппированных гауссовых ф-ций рассчитаны поверхности потенциальной энергии (ППЭ) основного и первого возбужденного состояний (<sup>1</sup>A<sub>2</sub>) молекулы H<sub>2</sub>CO по 6 нормальным координатам основного состояния вблизи положения равновесия. Найденная ППЭ была использована для расчета излучательного и безызлучательного распада ряда электронно-колебательных уровней возбужденного состояния. Значения вычисленных частот нормальных колебаний удовлетворительно.

Ф. 1078 № 8

согласуются с экспериментом, однако, в противоположность более ранним теоретич. работам нормальные колебания с частотами  $v_4$ ,  $v_5$  и  $v_6$  играют практически одинаковую роль при возбуждении запрещенных по симметрии излучательных переходов. Безызлучательные переходы являются примером резонансного взаимодействия, определяющегося случайным взаимным расположением взаимодействующих уровней.

А. Чесный



*H<sub>2</sub>CO*

*система 264*  
*М.Н. Вит*  
*dm 37 СИО*

*оп. 1949/15*

5 Д195. Неэмпирический расчет с учетом взаимодействия конфигураций колебательной структуры перехода  $^1(p\pi^*)$  в формальдегиде. Van Dijk J. M. F., Кемпег М. J. H., Кегр J. H. M., Бик Н. М. Ab initio CI calculation of the vibrational structure of the  $^1(p\pi^*)$  transition in formaldehyde. «J. Chem. Phys.», 1978, 69, № 6, 2453—2461 (англ.)

Для расчета свойств молекулы формальдегида в основном состоянии  $^1A_1$  и в возбужденном состоянии  $^1A_2$  использован один и тот же набор МО. Неэмпирич. методом с учетом взаимодействия 175 конфигураций вычислены в хорошем согласии с эксперим. данными дипольные моменты и геометрич. параметры в обоих состояниях, частоты ИК-переходов в формальдегиде и его дейтероаналоге. В нормальных координатах рассчитаны кривые потенц. энергии, зависимости переходных электронных моментов от нормальных координат и интегралы Франка—Кондона для холодных и горячих полос. Вычислены силы осцилляторов и поляризации для 38 наблюдаемых вибронных переходов. Для частоты  $v_3$  получены значения 1429, 1290 и 1009 см<sup>-1</sup> в формальдегиде, формальдегидах-*d* и -*d*<sub>2</sub>.

М. А. Kovner

*H<sub>2</sub>CO*

7 Б36. Неэмпирический расчет с учетом КВ колебательной структуры  ${}^1(\pi\pi^*)$  перехода в формальдегиде, van Dijk J. M. F., Kemper M. J. H., Kegre J. H. M., Buck H. M. Ab initio CI calculation of the vibrational structure of the  ${}^1(\pi\pi^*)$  transition in formaldehyde. «J. Chem. Phys.», 1978, 69, № 6, 2453—2461 (англ.)

Неэмпирическим методом ССП МО ЛКАО в большом гауссовом базисе (для C и O 9s5p сгруппированном в

*равновесная  
геометрия*  
*М. Н.*  
*000 372264*

4s3p, для H 4s→2s) с учетом взаимодействия 175mono- возбужденных конфигураций рассчитаны электронный спектр поглощения, равновесная геометрия и колебательные частоты в основном ( ${}^1A_1$ ) и нижнем возбужденном  ${}^1\pi\pi^*$  ( ${}^1A_2$ ) состояниях и интенсивности колебательных подуровней нижнего  ${}^1\pi\pi^*$  электронного перехода в формальдегиде (I). Для того, чтобы получить в одном расчете MO, одинаково хорошо передающие распределение электронной плотности в основном и возбужденном состояниях, использован метод переходных MO («Chem. Phys. Lett.», 1973, 22, 167). Расчет колебательных частот и интенсивностей колебательных подуровней сделан в гармонич. приближении, в расчетах интенсивности использованы результаты численных

*20.1959, N7*

расчетов зависимости электронных волновых функций и моментов электронных переходов от координат атомных ядер. Интегралы перекрывания колебательных волновых функций вычисляли аналитически, изменение нормальных координат при возбуждении не учитывали. При расчете моментов электронных переходов использованы методы дипольной длины и дипольного ускорения. Получено хорошее согласие с экспериментом (в скобках приведены эксперим. величины): угол между плоскостью H—C—H и связью C=O  ${}^1A_1$ , O (0) $^\circ$ ,  ${}^1A_2$  30 (33,6) $^\circ$ , угол H—C—H  ${}^1A_1$  116,5 (116,5) $^\circ$ ,  ${}^1A_2$  112,5 (118) $^\circ$ , C—H  ${}^1A_1$  1,10 (1,12) Å,  ${}^1A_2$  1,06 (1,09) Å, C=O  ${}^1A_1$  1,23 (1,21) Å,  ${}^1A_2$  1,36 (1,33) Å, рассчитанные частоты в  ${}^1A_1$  отличаются от эксперим. на 30—100 см $^{-1}$ , для возбужденного  ${}^1A_2$  состояния ошибки расчета достигают 300 см $^{-1}$ , относит. изменения частот при возбуждении получены с существенно более высокой точностью. Рассчитанные интенсивности колебательных подуровней хорошо передают соотношение интенсивностей в эксперим. спектре. На основе полученных результатов уточняется отнесение колебательных подуровней. Авторы акцентируют внимание на то, что в их расчетах не используется разложение Герцберга—Теллера, и высказывается мнение, что использование этого разложения существенно ухудшает согласие с экспериментом.

К. Я. Бурштейн

*79/8*  
H<sub>2</sub>CO

M, n, Ei

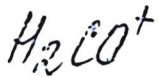
7 Б37. Неэмпирический расчет с учетом КВ безызлучательного перехода из  $^1\pi\pi^*$ -состояния формальдегида. van Dijk J. M. F., Kemper M. J. H., Kegre J. H. M., Buck H. M. Ab initio CI calculation of the radiationless transition of the  $^1(\pi\pi^*)$  state of formaldehyde. «J. Chem. Phys.», 1978, 69, № 6, 2462—2473 (англ.)

Рассчитана скорость безызлучательного распада нижнего  $^1\pi\pi^*$  состояния формальдегида (I). Использованы электронные волновые функции, рассчитанные неэмпирич. методом ССП МО ЛКАО в большом гауссовом базисе с частичным учетом конфигурац. взаимодействия (см. пред. реф.). Этим же методом вычислены все необходимые зависимости электронных волновых функций и матричных элементов от ядерных координат. Проанализированы допущения теории безызлучательных переходов и сформулированы кол. условия ее применимости для вычисления скорости безызлучательных переходов с использованием квантовохим. методов. Показано, что для I эти условия выполняются, если используется

2-1949-N7

борн-опенгеймеровское приближение адиабатичности. Получены общие ф-лы для вычисления матричных элементов взаимодействия между различными состояниями молекулы, пригодные для всех хим. соединений. Этот подход позволяет одновременно учесть колебательные и вращательные степени свободы, однако для I вращательные степени свободы оказались неэффективными. Аналогичные расчеты сделаны для дейтерированного I и показано, что при этом матричный элемент взаимодействия уменьшается в 10 раз. Безызлучательный распад нижнего  $\pi\pi^*$ -возбужденного состояния I относится к резонансному случаю и для его описания непригодна модель Юнга и Мура, к-рая широко используется в изучении подобных процессов. Обсуждается применимость «золотого правила» для описания такого типа безызлучательных процессов.

К. Я. Бурштейн



1978

5 Д164. Механизмы бесстолкновительного распада электронно-возбужденных молекул. I. Ион  $\text{H}_2\text{CO}^+$ : Naz Pires M., Galloу C., Lorguet J. C. ~~Установлено~~ Molecular decay paths of electronically excited species. I. The  $\text{H}_2\text{CO}^+$  ion. «J. Chem. Phys.», 1978, 69, № 7, 3242—3249 (англ.)

Проведен неэмпирич. расчет низших потенц. поверхностей (ПП) для иона  $\text{H}_2\text{CO}^+$  и исследованы пути на ПП, ведущие к диссоциации иона в возбужденных электронных состояниях на различные фрагменты. Наличие конич. пересечений потенц. поверхностей для возбужденных  $\bar{\text{A}}^2\text{B}_1$  и  ${}^2\text{A}_1$  (1) состояний обеспечивает существование путей сложной формы, но почти не требующих энергии активации. Адиабатич. прохождение ведет к образованию иона  $\text{CO}^+$ . Из-за наличия пересечения с ПП основного  $\bar{\text{X}}^2\text{B}_2$  состояния молекулы возможно также образование иона  $\text{HCO}^+$  в результате неадиабатич. прохождения. Рассматриваются механизмы, обеспечивающие связь между ПП, а также возможные объяснения изотопич. эффектов. В. Н. Островский

расчет  
поменялся  
нов-стн.

9.1979, N5

*H<sub>2</sub>CO*

1978

11 Б1329. Бесстолкновительное затухание, колебательная релаксация и промежуточный случай тушения  $S_1$ -состояния формальдегида. Weisshaar J. C., Vagonavski A. P., Cabello A., Moore C. B. Collisionless decay, vibrational relaxation, and intermediate state quenching of  $S_1$  formaldehyde. «J. Chem. Phys.», 1973, 69, № 11, 4720—4731 (англ.)

*флуоресценция*  
(τ)

Изучена зависимость кинетики затухания флуоресценции (Фл) с  $4^0$  и  $4^1$  уровнями  $S_1 (A^1A_2)$  состояния  $H_2CO$  (I) и  $D_2CO$  (II) от давл. газов молекул. Селективное фотовозбуждение I и II осуществлялось излучением лазера на красителе, накачиваемого  $N_2$ -лазером, и третьей гармоникой Nd : YAG-лазера. Кинетика Фл I в интервале давл. ( $p$ )  $4 \cdot 10^{-5}$ —4 мм и II при  $p > 0,1$  мм описывалась экспоненциальной зависимостью, что обусловлено переносом энергии  $4^0 \leftrightarrow 4^1$ . Времена жизни Фл (τ) II при  $p=0$   $\tau_0(4^0)=7,8 \pm 0,7$  мкsec. и  $\tau_0(4^1)=6,0 \pm 0,4$  мкsec. по-видимому, являются излучательными временами жизни молекулы. Скорость  $4^1 \rightarrow 4^0$ -переноса энергии в II  $(9,6 \pm 0,4) \cdot 10^{-10}$  см<sup>3</sup>/сек в три раза выше газокинетич. скорости. Затухание Фл I с колебательных уровней  $4^0$  и  $4^1$  при  $p=2 \cdot 10^{-4}$ —0,1 мм описывается

д. 1979, № 11

двумя экспоненциальными процессами.  $\tau$  I при  $p=0$ , по крайней мере, в 20 раз меньше, чем излучательное время жизни молекулы  $\approx 5$  мксек. Из зависимостей Штерн—Фольмера (ЗШФ)  $\tau^{-1}$  от  $p$  определены константы скорости тушения быстрой и медленной компонент Фл при  $p \leq 0,02$  мм, к-рые находятся в интервале  $k_q = (2,2-6,5) \cdot 10^{-9}$  см<sup>3</sup>/сек. Вклад быстрой компоненты с увеличением  $p$  быстро уменьшается и равен нулю при  $p=0,1$  мм. Наклон ЗШФ для медленной компоненты резко уменьшается с увеличением  $p$  и  $k_q \approx 2,2 \cdot 10^{-11}$  см<sup>3</sup>/сек при  $p > 1$  мм. Значения  $k_q$  при низких  $p$  и  $\tau$  при  $p=0$  для I определяются гл. обр., вращательным квантовым числом  $K'$  в пределах уровня  $4^\circ$ . Двухкомпонентное затухание Фл I, по-видимому, обусловлено изменением времени жизни  $I'$ -состояний, возбуждаемых лазерным излучением. Большие значения  $k_q$  и кривизна ЗШФ качественно объясняются ускорением внутренней конверсии за счет столкновения молекул или вращательной релаксацией короткоживущих состояний, или обоими механизмами сразу.

По резюме